

# 論文 拘束筋を有するひびわれコンクリートの圧縮性能劣化に関する研究

池田 浩一郎<sup>\*1</sup>・北山 和宏<sup>\*2</sup>

**要旨:** 本論文ではひびわれた直方体鉄筋コンクリートの圧縮特性について論じた。ひびわれたコンクリートの圧縮強度を低減させる要因として、ひびわれの形状による抵抗断面の欠損と鉄筋の周辺に生じる内部損傷がある。これらの圧縮強度低減への影響をそれぞれに分けて定量化した。また、ひびわれたコンクリートが拘束筋によって拘束されているとき、圧縮されたコンクリートがポアソン効果で変形しひびわれが閉じた状態になった時に拘束効果は発揮されるというメカニズムを明らかにした。

**キーワード:** コンクリート、ひびわれ、損傷、圧縮強度、引張りひずみ、拘束筋

## 1. 実験の目的

梁崩壊型の鉄筋コンクリート（R C）骨組では、梁降伏によって内柱・梁接合部に入力されるせん断力が一定となった後、さらに繰り返し載荷すると接合部がせん断破壊することがある。このような骨組では、地震時の繰り返し載荷によって接合部内梁主筋の付着劣化が生じ、接合部内のせん断力は主対角に沿って形成される斜め圧縮ストラットによって伝達される。梁降伏後の接合部せん断破壊の原因は、この斜め圧縮ストラットの圧縮強度がストラットに平行なひびわれによって低下したためと考える。そこで本研究では、引張り載荷によりひびわれの生じた直方体コンクリートの圧縮強度の低下を実験により確認し、その強度低減率を定量化する。また、図 1 に示すようにひびわれたコンクリートの圧縮強度・剛性の低下要因として主にひびわれの導入による抵抗断面の欠損と鉄筋近傍の局所的な内部損傷があると過去に指摘<sup>1) 2)</sup>されている。本研究ではこれらの要因の低減率への影響を定量化する。また、横補強筋で拘束されたひびわれを含むコンクリートの圧縮特性について検討する。

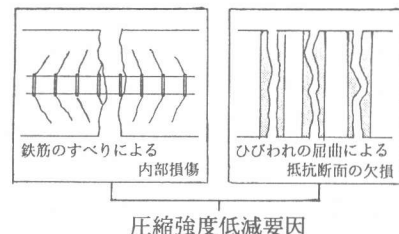


図 1 圧縮強度低減要因

## 2. 実験方法

### 2. 1 試験体

試験体は  $30 \times 20 \times 17$  (cm) の直方体コンクリート 28 体でひびわれを導入するための引張り載荷用鉄筋(12-D10)を貫通させた。試験体概略図を図 2 に示す。試験体は、コンクリートの引張り載荷用鉄筋のみ配筋されたものと、ひびわれの屈曲の影響を調べるためにコンクリート内にひびわれ誘発網を配したもの、拘束筋を 0.4% および 0.8% 配筋したものを作成した。ひびわれ誘発網は市販のスチール製亀甲網で網の穴の形状が 6 角形、穴の最大幅が 1 cm である。コンクリート・ペーストは網

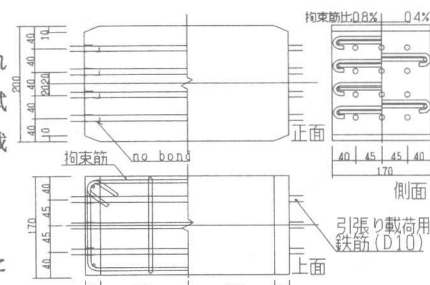


図 2 試験体

\*1 スーパーレジン工業 東京本社 製造 2 Group・工修 (正会員)

\*2 東京都立大学工学部建築学科 助教授・工博 (正会員)

を通過するため、引張り載荷時に引

張り応力はコンクリート内を伝達する。ひびわれ発生時には網の存在で多少断面欠損しているので網に沿ってひびわれが生じ、そのひびわれ形状は、ほぼ直線的なものとなる。試験体諸元および実験結果一覧を表1に示す。試験体の形状は、平板と直方体の形の違いを比較するため、千葉大学の野口ら<sup>3)</sup>によって行なわれたRC平板試験体の厚さを3.4倍に増大したものである。ひびわれ本数は、引張り載荷用鉄筋の配筋量から約3本生じるように設計した。材

料特性を表2に示す。コンクリート

強度 $f_c'$ および最大強度時軸ひずみ $\varepsilon_0$ はシリンダー試験により求めたが、本実験中、材齢により強度および最大強度時軸ひずみが上昇したため、表中の式によって定めた。

## 2. 2 加力方法

加力装置図を図3に示す。加力方法は、所定の初期引張りひずみ(0.0, 0.3, 0.6, 0.9, 1.2, 1.5および2.0%)まで引張り載荷の後、引張り力を除荷して試験体が圧壊するまで圧縮載荷した。試験体の圧縮載荷面にはジャッキとの摩擦を除去するため、テフロンシートにカップグリースを塗布したものを探入した。

## 2. 3 測定方法

測定方法図を図4に示す。コンクリート軸ひずみはPAIゲージ(検長100mm)とコンクリート表面に貼付した紙ゲージ(検長90mm)によって、横方向のコンクリートの伸びを変位計によって測定した。初期引張りひずみは危険断面からの抜けだしとコンクリートのひずみを加えて試験体長300mmで除したものである。コンクリート危険断面をひびわれ面と考えると鉄筋の抜け出しもコンクリートに損傷を与えることから初期引張りひずみの一部とした。引張り鉄筋のひずみと拘束筋のひずみも測定した。

## 3. 実験結果

### 3. 1 ひびわれ発生状況

各シリーズの引張り載荷終了時のひびわれ発生状況を図5に示す。Cシリーズは3本の屈曲したひびわれが発生した。CNシリーズはあらかじめ配したノッチに沿ってひびわれが生じた。拘束筋を配したCK4・CK8シリーズはひびわれが試験体表面に分散して発生した。

表1 試験体諸元および実験結果

試験体	初期引張りひずみ $\mu$	圧縮強度 $f_c'$ kgf/cm <sup>2</sup> ・材齢(日)	圧縮強度比 $f_{c'}/f_c'$	圧縮強度 低減率%	引張り鉄筋比	拘束筋比%	特徴
C-1	0	250.4	67	0.828	1.000		
C-2	2072	234.7	69	0.773	0.933		
C-3	5030	238.8	82	0.763	0.921		
C-4	7690	185.6	88	0.585	0.706		
C-5	12195	193.4	89	0.608	0.734		
C-6	15205	154.7	90	0.485	0.586		
C-7	20267	138.6	92	0.433	0.522		
CN-1	0	264.9	119	0.780	1.000		
CN-2	3168	247.6	122	0.724	0.929		
CN-3	7352	242.9	123	0.709	0.909		
CN-4	10190	235.9	123	0.689	0.883	SD35	0.0
CN-5	12681	220.2	127	0.637	0.817		
CN-6	20134	219.9	124	0.641	0.824		
CN-7	17391	199.8	125	0.581	0.745	12-D10	
CK4-1	0	259.0	92	0.809	1.000		
CK4-2	3113	—	—	—	—		
CK4-3	5887	230.0	95	0.713	0.882	2.52%	
CK4-4	—	236.6	96	0.732	0.905	0.4	拘束筋を
CK4-5	12089	236.4	97	0.730	0.903		
CK4-6	14282	237.0	111	0.710	0.878		
CK4-7	20258	234.8	115	0.697	0.862		
CK8-1	0	—	—	—	—		
CK8-2	3153	298.5	116	0.884	1.000		
CK8-3	7357	—	—	—	—		
CK8-4	9312	292.0	118	0.861	0.974		
CK8-5	14344	269.7	118	0.795	0.900		
CK8-6	15070	209.4	109	0.630	0.712		
CK8-7	16984	—	—	—	—		

(—)は実験がうまくいかなかったためにデータが得られなかった。

表2 材料特性

(a) 鉄筋			
	降伏応力度 (kgf/cm <sup>2</sup> )	降伏時歪 $\times 10^{-4}$	最大応力度 (kgf/cm <sup>2</sup> )
D10	3527	1816	5122
D6	3523	1671	4740
$\phi 6$	3554	1649	4667

(b) コンクリート			
コンクリート強度 $F_c = 0.72((\text{材齢(日)}) - 61) + 298$ 最大強度時軸ひずみ $\varepsilon_0 = 2067 + 2.3(\text{材齢(日)})$			
注) コンクリート強度および最大強度時軸ひずみは本実験中、材齢により値が上昇したため、上式によつて定めた。			

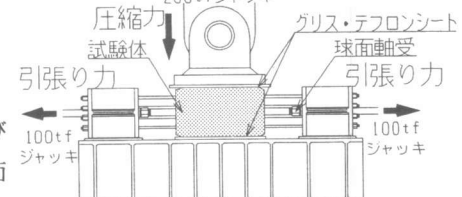


図3 加力装置

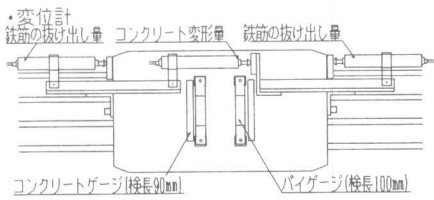


図4 測定方法

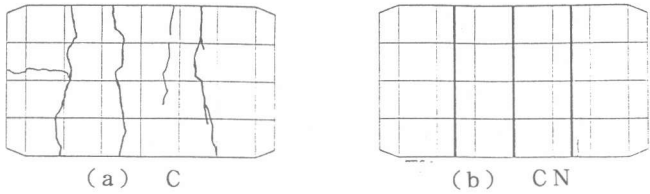


図5 ひびわれ発生状況

### 3. 2 圧縮応力-ひずみ関係

図6にC・CK4シリーズの圧縮応力 $\sigma/fc'$ -ひずみ $\varepsilon/\varepsilon_0$ 関係を示す。各図中の太線は初期ひずみを与えていない試験体である。C・CNシリーズの剛性はシリンダーとほぼ同程度であったが強度は8割程度であった。CK4・8シリーズはC・CNに対し剛性が低下したが、靭性は大きく向上した。

### 3. 3 引張り・圧縮力-拘束筋ひずみ関係

図7に引張り力-拘束筋ひずみ関係(CK4-7)を示す。引張り力に平行方向の拘束筋は引張り載荷とともにひずみが増大している。初期の剛性が高いところはひびわれ発生までコンクリートが引張り力を負担しているからである。また、引張り力と直交方向の拘束筋もわずかではあるがひずみが上昇している。これは引張り鉄筋の節がコンクリートを押し広げこれを抑えようとしたためひずみが増加したと思われる。

図8に圧縮力-拘束筋ひずみ関係(CK4-1, 4)を示す。ひびわれを導入しないCK4-1ではどの方向の拘束筋もほぼ同様の履歴を示すが、ひびわれを導入したCK4-4ではひびわれを含まない方向(短手)の拘束筋に対し、含む方向(長手)ひずみの増加が大きくなっている。これは引張り力によりひびわれと直交方向のコンクリート内に微細なひびわれが生じ、コンクリートのポアソン比が増大したためと考える。

### 4. 実験結果の考察

#### 4. 1 圧縮強度低減率式

図9に初期引張りひずみ-圧縮強度低減率関係を示す。圧縮強度低減率は各シリーズの初期引張りひずみを与えた試験体の強度を初期引張りひずみ0.0%の試験体の強度で除して求めた。各シリーズとも初期引張りひずみが増大するに伴い、

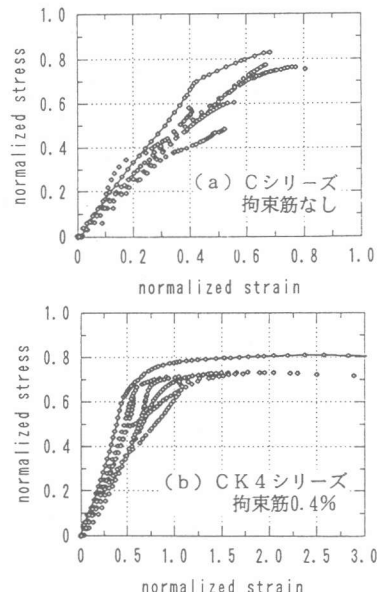


図6 圧縮応力-ひずみ関係

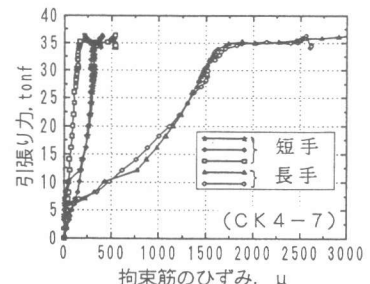


図7 引張り力-拘束筋ひずみ関係

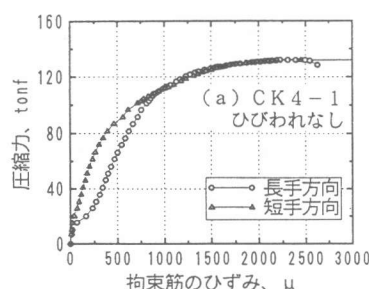
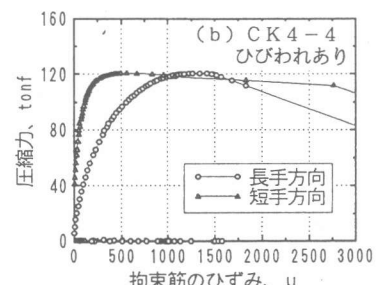


図8 圧縮力-拘束筋ひずみ関係



圧縮強度が低減する傾向を示した。図中の曲線および式(1)～(4)は各シリーズの実験結果より最小二乗法を用いて定式化した初期引張りひずみ $\varepsilon$ -圧縮強度低減率 $\lambda$ 関係である。Cシリーズ(式(1))とCNシリーズ(式(2))の低減率の差が大きくひびわれ屈曲の影響の大きさがわかる。また拘束筋を配したCK4シリーズ(式(3))の低減率もCシリーズに比べると穏やかになった。CK8シリーズ(式(4))は4体の実験結果から得られた低減率式がCK4シリーズとほぼ同じであったので、CK4シリーズの低減率式に代表する。

図10にCシリーズと千葉大学の野口らによって行なわれたRC平板実験によって求められた低減率曲線<sup>3)</sup>および低減率式(式(5))を併記する。初期引張りひずみ0～1.0%における低減率に差がある。これはひびわれ発生時に直方体コンクリートが板状の形状のコンクリート束に分割されるのに対し、RC平板では棒状となり面外座屈の影響が出やすくなるためと考える。

図11に圧縮強度-拘束筋比関係を示す。また修正Kent-Park Model<sup>4)</sup>(式(6)に示す)にもとづく圧縮強度上昇率も同時に示した。圧縮強度は初期引張りひずみ0.0%の各シリーズ試験体をC-1の圧縮強度で除して基準化した。CK4-1は拘束筋を配したものにかかわらずC-1と同程度であった。CK8シリーズでは初期引張りひずみ0.0%の圧縮強度が得られなかったが初期引張りひずみ0.3%の試験体で基準化すると圧縮強度比1.067まで上昇しているので0.0%においてもほぼ修正Kent-Park Modelと同程度まで上昇したと考える。

#### 修正Kent-Park Modelの強度上昇率

$$K = 1 + \rho_s f_y / f_c' \quad (6)$$

ここで、 $\rho_s$ =拘束筋比、 $f_y$ =拘束筋の降伏応力度  
 $f_c'$ =シリンダー強度

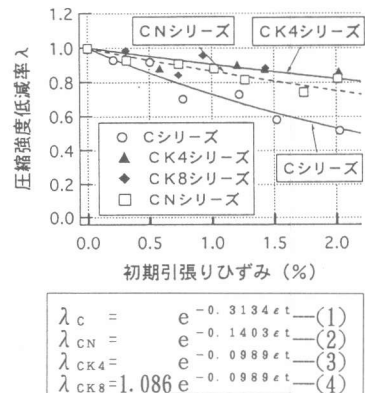


図9 初期引張りひずみ-圧縮強度低減率関係

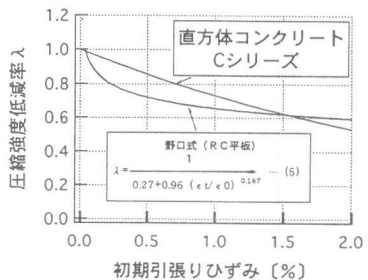


図10 野口式との比較

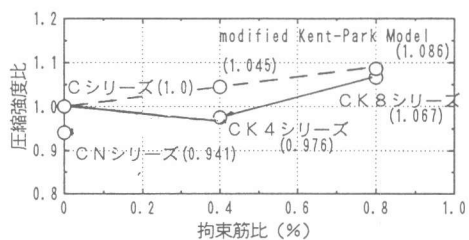


図11 圧縮強度-拘束筋比関係

実験より最小二乗法で定式化した圧縮強度低減率曲線は(図12)に示すように拘束筋を0.4%配した場合、拘束筋のない試験体に対して圧縮強度の低減は小さくなり、さらに配筋を0.8%に増加すると低減率曲線が全体に上昇するという結果になった。

#### 4. 2ひびわれの屈曲による圧縮強度低減の関係

CNシリーズはコンクリートに生じるひびわれの屈曲を取り除き、抵抗断面の欠損による圧縮強度低減の要因を除去した。これで引張り載荷用鉄筋の付着作用によるコンクリート内部損傷の圧縮強度低減率への影響のみを定量化することができた。ひびわれの屈曲の影響も伴うCシリーズに比して、CNシリーズの低減率は緩やかになっている。また、CNシリーズの低減率曲線と実験データの規

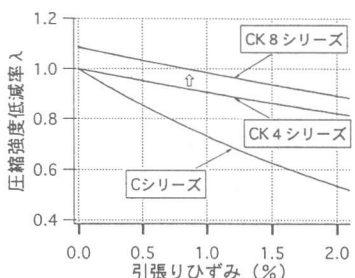


図12 初期引張りひずみ-圧縮強度低減率関係

標準誤差は3.8%でCシリーズの標準化誤差6.0%に比べるとばらつきが少ない。これは、Cシリーズではひびわれ形状が確率的に決定するため強度にはばらつきが生じるのに対し、CNシリーズではひびわれ形状が直線状でひびわれ屈曲の影響を受けないためと考える。圧縮強度低減要素として鉄筋のすべりによる内部損傷のみが初期引張りひずみの増大に比例して大きくなるため、低減率もすべりの大きさに追従する。

図13にひびわれの屈曲のみによる初期引張りひずみ-圧縮強度低減率関係を示す。図中の曲線および低減率式(式(7))は図9において求めたCシリーズの実験結果からCNシリーズの圧縮強度低減率を引いたもので、ひびわれの屈曲のみの影響による圧縮強度低減率を表わす。また図中にプロットしたデータはCシリーズの実験結果よりCNシリーズの低減率曲線の値を引いて求めたものである。実験結果をみるとC-3(初期引張りひずみ0.5%)まではCNシリーズとの差が少なくC-4(初期引張りひずみ0.76%)以降、圧縮強度の低減が急激に進行しているように見える。表3にCシリーズ各試験体の圧壊直前のコンクリートの伸び、試験体を貫通したひびわれ本数、ひびわれ幅等を示す。ひびわれ幅は圧壊直前のコンクリートの伸びをひびわれ本数で除して求めた。C-2はひびわれ幅が0.1mm、C-3はひびわれ幅は0.3mm以上あるが圧縮強度に影響を及ぼすと思われるひびわれは1本である。このことがC-2,3の低減率が小さいことの原因と思われる。前川ら<sup>1)</sup>の実験においてもひびわれ幅が0.3mm以上開いた時に圧縮強度が低減する、ということを報告しており同様の結果となった。

#### 4. 3 拘束筋の拘束効果

図14に初期引張りひずみ-コンクリート横ひずみ関係を示す。CK4・8シリーズは拘束筋のため引張り載荷してもコンクリート横ひずみが増加しにくく、C・CNシリーズと比べても同程度の初期引張りひずみにおいてコンクリート横ひずみは約2/3程度である。これはひびわれ幅の増大を抑えることにもなり、圧縮強度の低下を防ぐ。

図15に圧縮応力度-コンクリート横ひずみ関係を示す。図中のプロットは初期引張りひずみを与えたCシリーズとCK4シリーズの実験結果をプロットしたものである。拘束筋を有していないCシリーズに対し、拘束筋を有するCK4シリーズは応力が増大してもコンクリートの横ひずみが抑えられる傾向がある。ひびわれたコンクリートにおいても圧縮載荷によってポアソン効果で横ひずみを生じるが、拘束筋の存在によってポアソン効果による変形がひびわれを閉じる方向に働き、コンクリート全体の変形が生じにくくなつたためと考える。応力が170kgf/cm<sup>2</sup>を超えたあたりからCK4シリーズの横ひずみが増大している。これは圧縮載荷によりひびわれが閉じたため横ひずみが増大したためである。

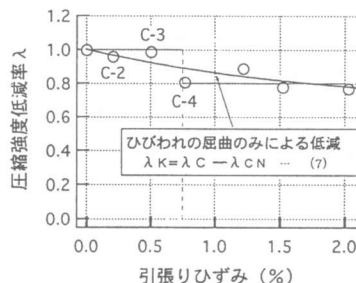


図13 ひびわれの屈曲のみによる圧縮強度低減率

表3 ひびわれ幅・ひびわれ本数

試験体名	コンクリート伸び量 mm	貫通したひびわれ本数	ひびわれ幅 mm
C-1	0.256	0	0.00
C-2	0.265	3	0.11
C-3	0.667	1	0.37
C-4	1.142	3	0.38
C-5	1.705	3	0.57
C-6	2.741	3	0.91
C-7	3.264	3	0.94

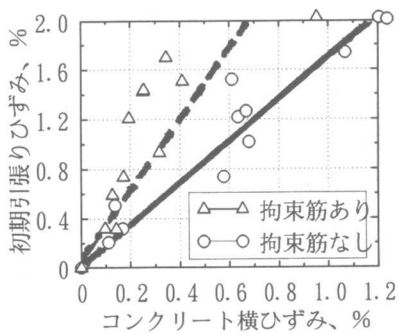


図14 初期引張りひずみ-コンクリート横ひずみ関係

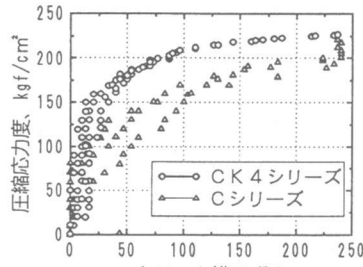


図15 圧縮応力度-コンクリート横ひずみ関係

図16にCK4シリーズの圧縮応力度－拘束力関係を示す。拘束力はひびわれを含む方向（長手）の拘束筋のひずみに鉄筋の引張り試験より得られた見かけのヤング係数を乗じてもとめた。引張りひずみの増大は拘束筋の拘束効果を低下させた。これはひびわれ幅が大きくなることで、圧縮載荷によるコンクリートの横ひずみがひびわれに吸収され、拘束力が増大しにくくなるため、前述の現象とも一致している。最大耐力付近では各試験体とも急激に拘束力が増大し、3tonf以上（全拘束筋降伏による拘束力は4.5tonf）になった。前述の現象と同様、各試験体とも圧縮載荷が進行するに伴いコンクリートの横ひずみが増加し、ひびわれの空隙も減少したため、拘束力が生じたと考える。すなわち、拘束筋はひびわれ幅が増大しても、最大耐力付近では十分な拘束力を発揮し、ひびわれたコンクリートの圧縮強度の低下を防ぐ効果をもつ。

## 5. まとめ

ひびわれた直方体コンクリートの圧縮特性を調べるための実験を行なった。各シリーズとも初期引張りひずみの増大に伴い、圧縮強度が低減した。また、剛性の低下はひびわれの屈曲の影響が大きいことがわかった。

圧縮強度低減率は、拘束筋のないCシリーズは初期引張りひずみ2.0%で約6割まで低減した。拘束筋比0.4%のCK4シリーズは初期引張りひずみ0.0%での圧縮強度の上昇はなかったが、低減率はCシリーズより小さくなり、初期引張りひずみ2.0%に至っても約8割程度であった。拘束筋比0.8%のCK8シリーズは圧縮強度低減率はCK4シリーズと同等だが、全体に強度が上昇した。ひびわれを直線状に発生させたCNシリーズはひびわれの屈曲による圧縮強度低減の影響を除去したため、低減率はCシリーズよりもゆるやかになった。ひびわれの屈曲による圧縮強度低減率は初期引張りひずみ2.0%で約8割程度であることがわかった。

拘束筋がひびわれを含むコンクリートの圧縮強度低下に与える影響を調べた。拘束筋は引張り載荷時、ひびわれを分散して発生させ、コンクリート横ひずみの増大を抑え、ひびわれ幅の増大を抑えた。また、圧縮載荷時には、初期引張りひずみが増大することでひびわれ幅が大きくなっても最大圧縮強度付近では拘束筋が十分な拘束力を発揮し、圧縮強度の低下を防止した。

謝辞：本研究は文部省科研費（総合研究A、代表者：野口博千葉大学教授）により行ない、日本スパンクリート協会の援助を得た。また、大成建設技術研究所より鉄筋の提供を受け、試験体製作には東急建設技術研究所の協力を得た。

参考文献：（1）前川宏一、宋 崇民、入江正明：3軸拘束からひびわれを考慮したコンクリートの圧縮特性の一般化、JCIコロキウム RC構造のせん断設計法に関する解析的研究 論文集、日本コンクリート工学協会'89年10月 pp. 31-38 （2）長沼一洋、山口恒夫：ひびわれたコンクリートの圧縮特性に関する研究、JCIコロキウム RC構造のせん断設計法に関する解析的研究 論文集、日本コンクリート工学協会'89年10月 pp. 39-44 （3）大久保雅章、濱田聰、野口博：ひびわれコンクリートの圧縮特性の劣化に関する基礎実験、コンクリート工学年次論文集 Vol. 11-2、1989、pp. 323-326 （4）Kent, D. C., and Park, R., "Flexural Members with Confined Concrete," Journal of the Structural Division, ASCE, Vol. 97, No. ST7, Proc. paper 8243, July, 1971, pp. 1969-1990.

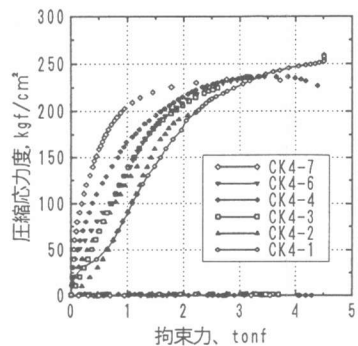


図16 圧縮応力－拘束力関係